

**PROGRAMA DE CÁLCULO DE CONSTANTES DE EQUILÍBRIO E VARIAÇÕES DE ENALPIA PARA  
MICROCOMPUTADORES, PELA TÉCNICA DO "MAPEAMENTO DO POÇO".  
EMPREGO EM TITULAÇÕES CALORIMÉTRICAS.**

Yoshitaka Gushikem, Aécio P. Chagas e Creusa M.M. Costa

*Instituto de Química, UNICAMP;  
CP 6154; 13100 Campinas (SP)*

## INTRODUÇÃO

Numa titulação calorimétrica, é sempre possível a determinação simultânea da variação da entalpia molar ( $\Delta H$ ) e da constante de equilíbrio ( $K$ )<sup>1</sup>. A forma da curva de titulação é uma função destas duas grandezas e as equações envolvidas nestes cálculos, são resolvidas através dos métodos iterativos<sup>2,3</sup>.

Diversos programas de computadores foram então desenvolvidos para tal finalidade<sup>2-11</sup>, tendo sido então empregado com sucesso no cálculo de  $\Delta H$  e  $K$  por exemplo de formação de adutos e formação de pares iônicos<sup>12-16</sup>.

Os programas utilizados têm como objetivo ajustar a curva de titulação experimental ( $\Sigma Q_i$ ,  $V_i$ ; onde  $Q_i$  = variação de entalpia para cada ponto experimental e  $V_i$  = volume do titulante) à curva calculada tal que a função  $U = \sum_i w_i (Q_i - Q_{i, \text{calc}})^2$  ( $w_i$  = peso estatístico de cada ponto experimental) seja mínima. Entretanto, para se determinar os desvios nos valores de  $K$  e  $\Delta H$ , é necessário que se conheça a forma da função  $U(K, \Delta H)$ . A técnica mais usual para tal finalidade tem sido então a do "mapeamento do poço"<sup>2-5,11</sup>.

O processamento de programas com o objetivo de realizar tais mapeamentos, normalmente requer o emprego de computadores de alta velocidade, especificamente desenvolvidos para efetuarem cálculos científicos. Com o advento dos microcomputadores e também devido a larga difusão do seu uso, tornou-se importante que tais tipos de cálculos fossem efetuados através de programas escritos especialmente para tal finalidade.

Desejamos relatar neste trabalho, os resultados de cálculos de  $K$  e  $\Delta H$ , pelo método de mapeamento, obtidos através de programas especialmente elaborados para um microcomputador.

## PROCEDIMENTOS DE CÁLCULO

Para uma dada reação entre A e B com formação da espécie complexa AB



$$\text{onde } K = \frac{[\text{AB}]}{[\text{A}] [\text{B}]} \quad (2)$$

quando a espécie A é colocada no vaso calorimétrico (volume  $V_0$ ) e a espécie B na bureta, a cada adição  $V_i$  a variação de entalpia pode ser calculada através da equação

$$\sum_i Q_i = \sum_i |\text{AB}|_i (V_0 + V_i) \Delta H \quad (i = 1, 2, \dots, N) \quad (3)$$

onde  $N = \text{nº}$  de pontos experimentais.

A concentração  $|\text{AB}|_i$  é calculada pela resolução da equação de 2º grau (eq. 4), através de um valor arbitrário de  $K$

$$K |\text{AB}|_i^2 + \left\{ K \frac{n}{V_i} - \frac{C_0(V_i - V_0)}{V_i} + 1 \right\} |\text{AB}|_i - \frac{C_0(V_i - V_0)}{V_i} = 0 \quad (i = 1, 2, \dots, N) \quad (4)$$

onde  $n = \text{quantidade de A}$

$C_0$  = concentração de B na bureta

$V_0$  = volume inicial da solução contido no vaso calorimétrico.

O valor de  $|\text{AB}|_i$  calculado é substituído na equação 3 e  $\sum_i Q_i$  é calculado. O procedimento é repetido para diversos valores arbitrários de  $K$ , de modo que a função  $U = \sum_i w_i (Q_i - Q_{i, \text{calc}})^2$  seja mínima. No presente caso  $w_i = \frac{1}{Q_i}$ .

O conhecimento da forma da função  $U(K, \Delta H)$  permite, como demonstrou Sillen<sup>2</sup>, a determinação do desvio padrão  $D(U)$  através da equação

$$D(U) = \frac{U_0}{N-2}^{1/2} \quad (5)$$

onde  $U_0$  é o  $U$  mínimo e  $N$  o número de pontos experimentais (ver figura 1).

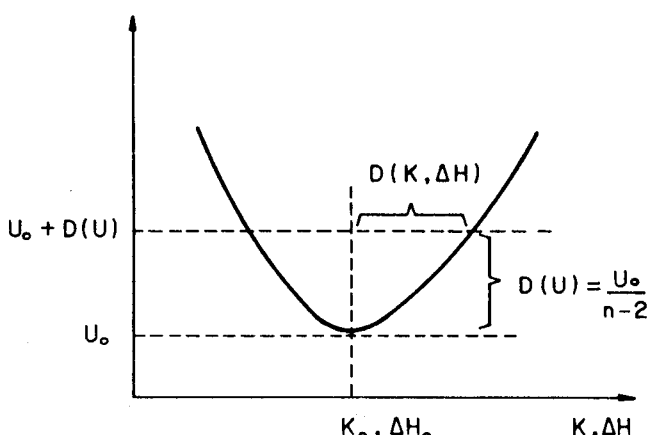


Fig. 1

A função  $U(K, \Delta H)$  pode então ser mapeada como mostra a figura 2, segundo vários valores de  $D(U)$  e calcularmos então os desvios de  $K$  e  $\Delta H$ .

Desde que se conheça o valor de  $U_0$ , foi sugerido num trabalho recente por Mullens et al.<sup>11</sup>, que o mapeamento pode ser feito segundo a função  $AU(K, \Delta H)$  onde

$$AU = \frac{U - U_0}{U_0} \quad (6)$$

Neste caso, o valor de  $AU$  na eq. 6 dá o valor de  $U$  normalizado isto é, o valor relativo de  $U$  em relação a  $U_0$ . A vantagem de expressar a função como  $AU$  ao invés de  $U$  veremos mais adiante.

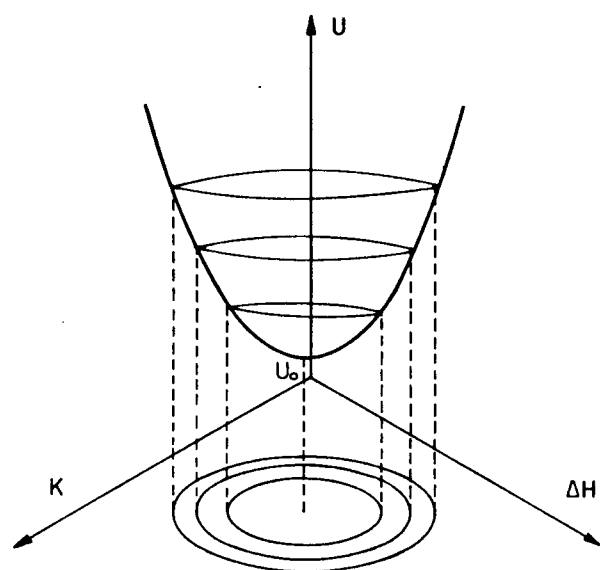
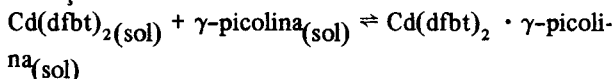


Fig. 2

## RESULTADOS E DISCUSSÕES

A fim de efetuarmos os cálculos foi elaborado o programa MAPING, escrito em linguagem BASIC, e cujo fluxograma apresentamos na figura 3. Os cálculos são realizados em precisão dupla e o microcomputador utilizado foi o Itautec I-7000 Junior-E, equipado com unidades de disquete de 8 polegadas e impressora serial RIMA IS-1320.

A reação estudada foi



onde  $dfbt = N,N\text{-difenil-N}\cdot\text{benzoiltioureia}$ . O solvente utilizado no experimento foi o tolueno. Os dados referentes à esta titulação encontram-se listados na tabela 1.

Os valores de  $K$  e  $\Delta H$  foram inicialmente estimados pelo método gráfico de Bolles-Drago<sup>17</sup>, conforme mostramos na figura 4. Os valores estimados, dados pela intersecção das linhas, são  $K = 2,77 \times 10^3 (\text{M}^{-1})$  e  $\Delta H = -26,0 \text{ kJ} \cdot \text{mol}^{-1}$ .

Estes valores foram posteriormente refinados pelo método iterativo, onde procuramos minimizar a função  $U$  ou  $AU$ .

A conveniência de se utilizar a função  $AU$  (eq. 6) pode ser ilustrada na figura 5. A função  $AU$  e  $U$  foi varrida entre 2919 a 2928, em intervalos de  $\Delta K = 0,5$  unidades, com o valor mínimo de  $AU$  a 2923. Observamos que neste intervalo, o valor da função  $U$  praticamente permaneceu constante (linha tracejada). A função  $AU(K, \Delta H)$  foi então utilizada para se mapear o poço, com o objetivo de calcular os desvios de  $K$  e  $\Delta H$ .

Na figura 6, temos a representação do mapeamento, onde 5300 valores de  $AU(K, \Delta H)$  foram calculados. Na abscissa temos os valores de  $K$  e nas ordenadas os valores de  $\Delta H$ . Na abscissa, cada ponto corresponde a um incremento de  $\Delta K = 4$  e na ordenada, cada ponto corresponde a  $\Delta(\Delta H) = -7 \text{ Joules}$ .

TABELA I\*

Valores de  $V$ ,  $\Sigma Q_{(\text{reação})}$ ,  $\Sigma Q_{(\text{dil})L}$ ,  $\Sigma Q_{(\text{dil})M}$  e  $\Sigma Q_{(\text{obs})}$  para a Titulação de  $Cd(dfbt)_2$  4,49 mM com  $\gamma\text{-picolina}$  0,19 M em Tolueno a 298,15 K.

| $V(\text{ml})$ | $\Sigma Q_{(\text{reação})} (\text{J})$ | $\Sigma Q_{(\text{dil})L} (\text{J})$ | $\Sigma Q_{(\text{dil})M} (\text{J})$ | $\Sigma Q_{(\text{obs})} (\text{J})$ |
|----------------|---|---------------------------------------|---------------------------------------|--------------------------------------|
| 90,00          | 0                                       | 0                                     | 0                                     | 0                                    |
| 90,50          | -2,20                                   | 0,05                                  | 0,02                                  | -2,27                                |
| 91,00          | -4,30                                   | 0,10                                  | 0,04                                  | -4,44                                |
| 91,50          | -6,05                                   | 0,15                                  | 0,07                                  | -6,27                                |
| 92,00          | -7,45                                   | 0,20                                  | 0,10                                  | -7,75                                |
| 92,50          | -8,28                                   | 0,22                                  | 0,13                                  | -8,63                                |
| 93,00          | -8,72                                   | 0,25                                  | 0,16                                  | -9,13                                |
| 93,50          | -8,95                                   | 0,30                                  | 0,19                                  | -9,44                                |

\*  $\Sigma Q_{(\text{dil})L}$  = entalpia de diluição do ligante;

$\Sigma Q_{(\text{dil})M}$  = entalpia de diluição do quelato;

$\Sigma Q_{(\text{obs})} = \Sigma Q_{(\text{reação})} - \Sigma Q_{(\text{dil})L} - \Sigma Q_{(\text{dil})M}$ .

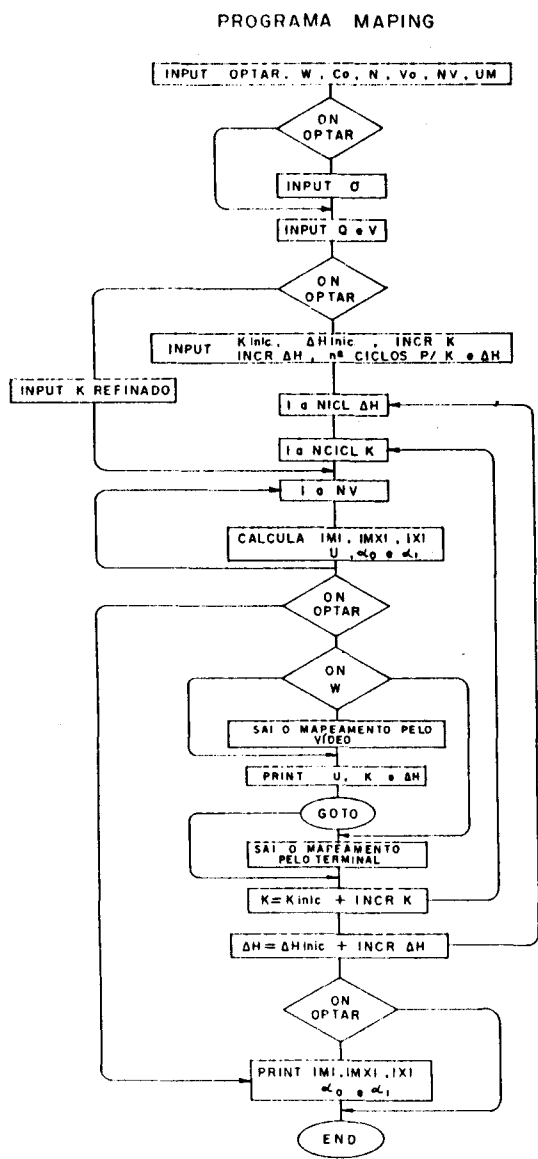


Fig. 3

A delimitação dos territórios entre as curvas de nível corresponde para o símbolo (&) a um valor de  $D(U) \leq 0,008$ , para o símbolo (+) a um valor de  $D(U) \leq 0,05$  e para o símbolo (#) a um valor de  $D(U) \leq 0,1$ .

O valor ótimo de  $K$  e  $\Delta H$  i.e.,  $K_0$  e  $\Delta H_0$ , encontra-se no centro do território delimitado pela curva representada por (&). Os valores obtidos e os desvios são  $K = (2,92 \pm 0,07) \times 10^3 \text{ l} \cdot \text{mol}^{-1}$  e  $\Delta H = -25,63 \pm 0,07 \text{ kJ mol}^{-1}$ . Comparando-se estes valores com aqueles obtidos pelo método convencional de minimização da função  $U$  i.e.,  $K = 3,31 \times 10^3 \text{ l} \cdot \text{mol}^{-1}$  e  $\Delta H = -25,5 \text{ kJ} \cdot \text{mol}^{-1}$ , observamos que os valores de  $K$  diferem um pouco entre si. Acreditamos que sejam concordantes dentro do erro, que não conhecemos, do cálculo convencional. O método de Bolles-Drago, que pelo fato de ser um método gráfico é menos preciso, forneceu como vimos, valores muito mais próximos daqueles fornecidos pela técnica de mapeamento.

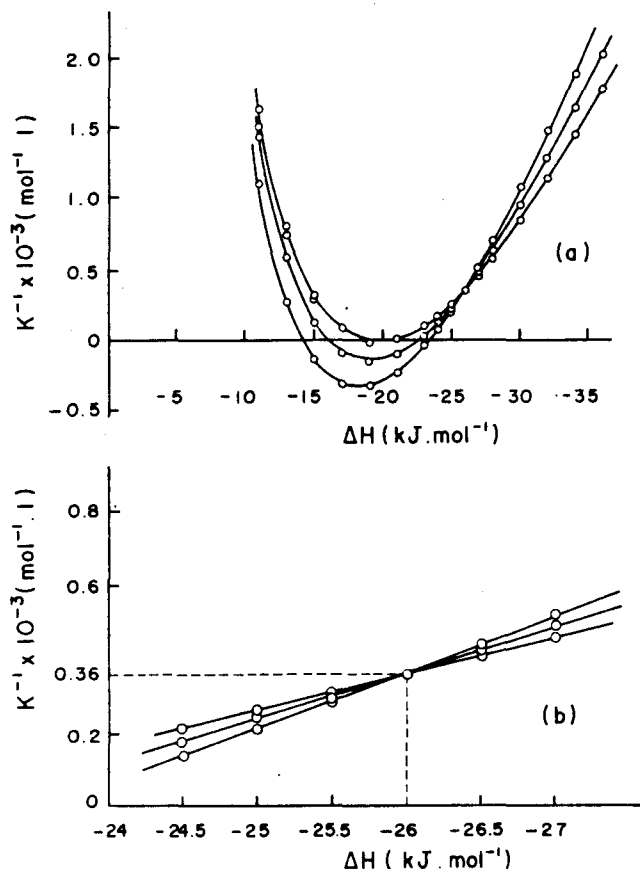


Fig. 4

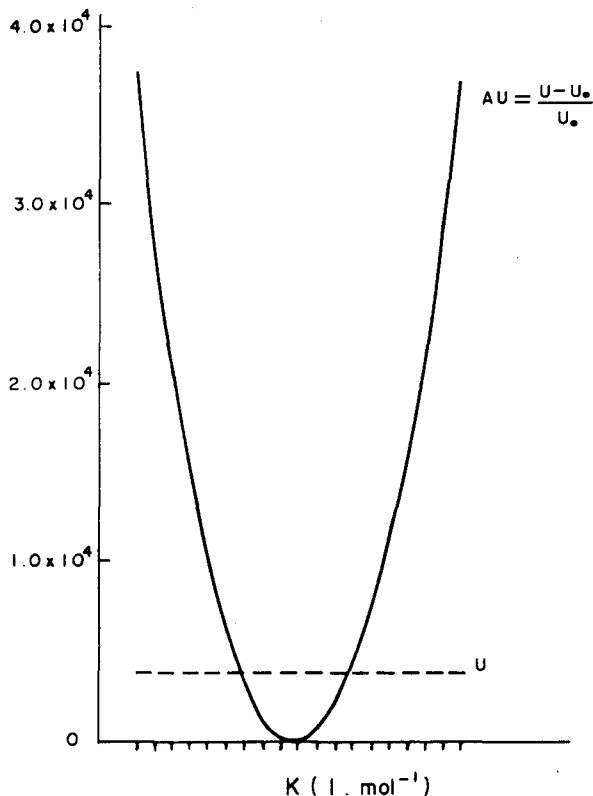


Fig. 5

**Titulação calorimétrica do Cd(dfbt)<sub>2</sub> com 4-Picolina em Tolueno  
ESTIMATIVA DE DESVIO PELO MÉTODO DO MAPEAMENTO DO POÇO**

**K inicial = 2750    DELH inicial = -25450    INCRK = 4    INCRQ = -7**

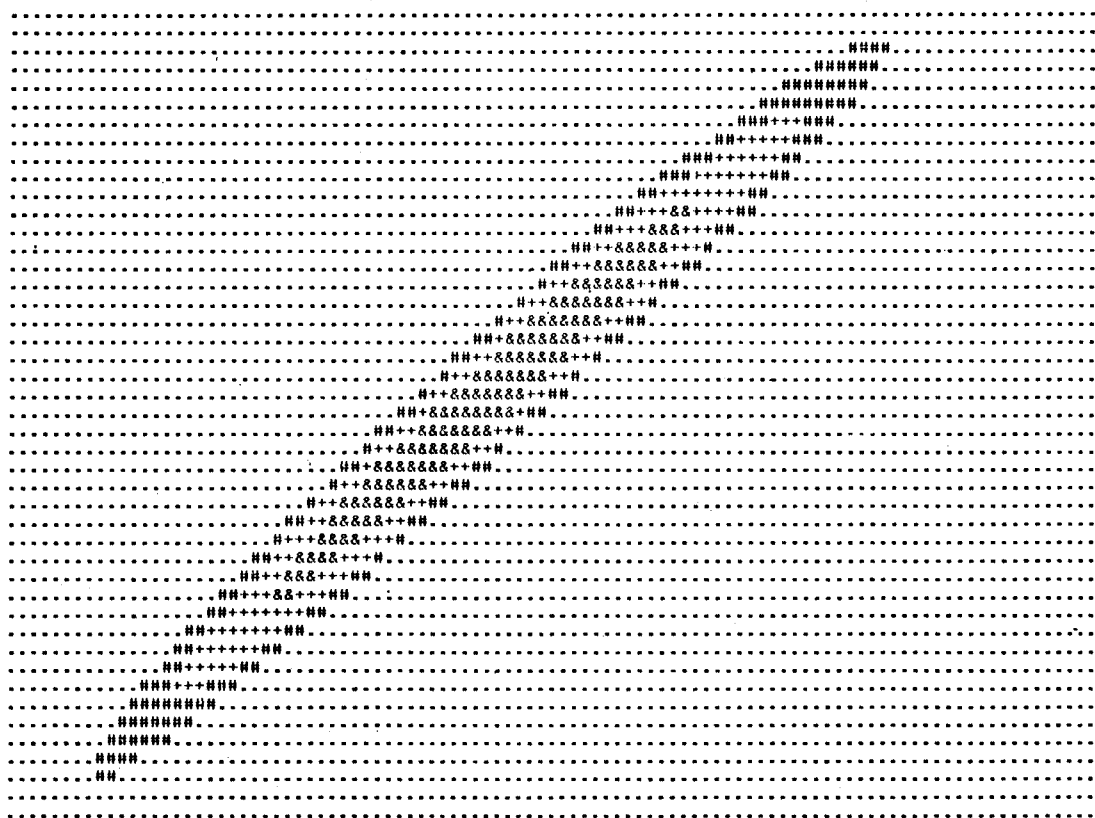


Fig. 6

O programa MAPING mostrou que cálculos de K e  $\Delta H$  pelo método iterativo são perfeitamente exequíveis empregando-se microcomputadores e a precisão dos cálculos, quando efetuados em precisão dupla e considerando ainda a magnitude dos números envolvidos, são iguais. A principal desvantagem evidentemente está relacionada com o tempo do processamento dos micros. Para uma curva de titulação com 10 pontos, são necessários aproximadamente 5 segundos de cálculo para cada elemento da matriz da figura 6, perfazendo um total de  $\sim 7$  h 30 min de processamento. Entretanto, este tempo pode ser reduzido drásticamente se escolhermos bem a região onde pretendemos mapear, delimitado apenas pelo valor de D(U) da região central do poço, que é a zona onde realmente estamos interessados.

#### Referências Bibliográficas

- <sup>1</sup> D.J.E. Eatough, J.J. Christensen and R.M. Izatt, Experiments in Thermometric Titrimetry and Titration Calorimetry, Brigham Young University Press, Provo, Utah, 1974.
- <sup>2</sup> L.G. Sillen, Acta Chem. Scand., 16, 159 (1962).
- <sup>3</sup> R.M. Izatt, D. Eatough, R.L. Snow and J.J. Christensen, J. Phys. Chem., 72, 1208 (1968).
- <sup>4</sup> C. Rigano, E. Rizzarelli and S. Samartano, Termochim. Acta, 33, 211 (1979).
- <sup>5</sup> R. Karlsson and L. Kulberg, Chem. Scripta, 9, 54 (1976).
- <sup>6</sup> P. Paoletti, A. Vacca and D. Arenare, J. Phys. Chem., 70, 193 (1966).
- <sup>7</sup> E.S. Shcherbakova, I.P. Gol'dshtain and E.N. Gur'yanova, Russ. Chem. Rev., 47, 1133 (1978).
- <sup>8</sup> N.A. Ostapkevich, I.I. Barsukov, M.A. Meller and S.V. Savel'eva, Russ. Chem. Rev., 56, 1323 (1982).
- <sup>9</sup> F. Gaizer, Coord. Chem. Rev., 27, 195 (1979).
- <sup>10</sup> P. Goralski and S. Taniewska-Osinska, Can. J. Chem., 61, 2209 (1983).
- <sup>11</sup> J. Mullens, J. Yperman, J.P. Francois and L.C. Van Poucke, J. Phys. Chem., 89, 2937 (1985).
- <sup>12</sup> C. Aioldi, P.L.O. Volpe and A.P. Chagas, Polyhedron, 1, 49 (1982).
- <sup>13</sup> Y. Gushikem, R. Giesse and P.L.O. Volpe, Termochim. Acta, 68, 83 (1983).
- <sup>14</sup> R. Giesse, Y. Gushikem and P.L.O. Volpe, Termochim. Acta, 54, 257 (1982).
- <sup>15</sup> C. Aioldi, P.L.O. Volpe and J.M.M. de M. Lira, Polyhedron, 2, 1125 (1983).
- <sup>16</sup> P.L.O. Volpe, A.P. Chagas and C. Aioldi, J. Inorg. Nucl. Chem., 42, 1321 (1980).
- <sup>17</sup> T.F. Bolles and R.S. Drago, J. Am. Chem. Soc., 87, 5015 (1965).

#### AGRADECIMENTOS:

Os autores desejam agradecer à FAPESP pelo auxílio financeiro para a realização deste projeto.